



(12)

Patentschrift

(21) Aktenzeichen: **197 26 935.4**
(22) Anmeldetag: **25.06.1997**
(43) Offenlegungstag: **07.01.1999**
(45) Veröffentlichungstag
der Patenterteilung: **12.06.2014**

(51) Int Cl.: **G01B 11/00** (2006.01)
H03M 1/30 (2006.01)

Innerhalb von neun Monaten nach Veröffentlichung der Patenterteilung kann nach § 59 Patentgesetz gegen das Patent Einspruch erhoben werden. Der Einspruch ist schriftlich zu erklären und zu begründen. Innerhalb der Einspruchsfrist ist eine Einspruchsgebühr in Höhe von 200 Euro zu entrichten (§ 6 Patentkostengesetz in Verbindung mit der Anlage zu § 2 Abs. 1 Patentkostengesetz).

(73) Patentinhaber:
**Dr. Johannes Heidenhain GmbH, 83301,
Traunreut, DE**

(72) Erfinder:
Holzapfel, Wolfgang, Dr., 83119, Obing, DE;
Mayer, Elmar J., Dr., 83342, Tacherting, DE

(56) Ermittelter Stand der Technik:

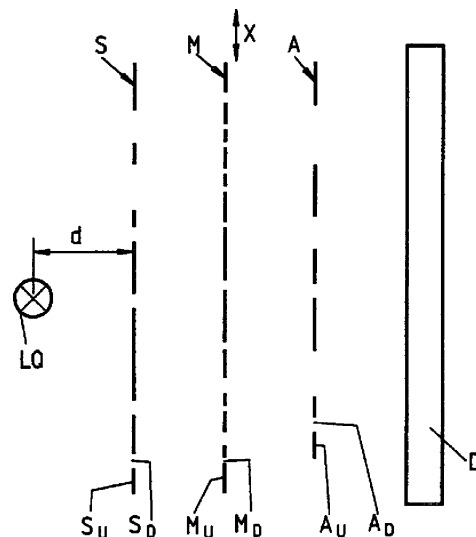
DE	39 04 898	C2
DE	42 12 281	C2
DE	18 14 785	A
US	4 451 731	A
US	4 823 001	A
US	5 065 017	A
EP	0 195 130	A2
EP	0 635 701	A1

(54) Bezeichnung: **Optische Positionsmeßeinrichtung**

(57) Hauptanspruch: Optische Positionsmeßeinrichtung, über die neben anderen Positionssignalen bezüglich der Relativlage zweier zueinander beweglicher Objekte auch mindestens ein Referenzimpulssignal bezüglich einer definierten Relativposition der zwei Objekte erzeugbar ist, mit

- einer Lichtquelle (LQ),
- einer vor der Lichtquelle (LQ) angeordneten Referenzimpuls-Sendestruktur (S), die eine erste, unregelmäßige Verteilung von Bereichen (S_U , S_D) mit zwei unterschiedlichen optischen Eigenschaften aufweist, wobei der Strahlengang zwischen der Lichtquelle (LQ) und der Referenzimpuls-Sendestruktur (S) divergent ist,
- einer in Richtung der Strahlausbreitung benachbart zur Referenzimpuls-Sendestruktur (S) angeordneten Referenzimpuls-Maßstabstruktur (M), die eine zweite unregelmäßige Verteilung von Bereichen (M_U , M_D) mit zwei unterschiedlichen optischen Eigenschaften aufweist,
- einer Referenzimpuls-Abtaststruktur (A), die der Referenzimpuls-Maßstabstruktur (M) nachgeordnet ist und die eine dritte unregelmäßige Verteilung von Bereichen (A_U , A_D) umfasst und in Form einer Strukturierung der lichtempfindlichen Fläche eines optoelektronischen Detektorelements (D) zur Erfassung der transmittierten und/oder reflektierter Strahlenbündel ausgebildet ist, wobei die Referenzimpuls-Maßstabstruktur (M) gegenüber der Referenzimpuls-Sendestruktur (S) und der Referenzimpuls-Abtaststruktur (A) beweglich angeordnet ist,
- wobei die Referenzimpuls-Sendestruktur (S), die Referenzimpuls-Maßstabstruktur (M) und die Referenzimpuls-Abtaststruktur (A) derart ausgestaltet sind, daß bei einer definierten Relativposition der zueinander beweglichen Strukturen Strahlenbündel aus einem Bereich (M_U , M_D) der

Referenzimpuls-Maßstabstruktur (M) mit mehreren Bereichen (A_U , A_D) der Referenzimpuls-Abtaststruktur (A) wechselwirken, so daß über das mindestens eine optoelektronische Detektorelement (D) ein erstes Referenzimpulssignal hinreichender Intensität erfaßbar ist.



Beschreibung

[0001] Die vorliegende Erfindung betrifft eine optische Positionsmeßeinrichtung, bei der neben der Erzeugung inkrementeller Positionsdaten auch die Erzeugung mindestens eines Referenzimpulssignales bei einer definierten Relativlage zweier zueinander beweglicher Objekte möglich ist.

[0002] Bekannte optische, inkrementelle Positionsmeßeinrichtungen umfassen neben ein oder mehreren inkrementellen Teilungen auf Maßstab- und Abtastseite in der Regel auch ein oder mehrere Felder mit Referenzmarken bzw. Referenzmarkenstrukturen, über die entsprechende Referenzimpulssignale erzeugbar sind. Die Referenzimpulssignale dienen hierbei zur eindeutigen Identifizierung definierter Relativpositionen der zwei zueinander beweglichen Elemente, deren Relativbewegung mit Hilfe der optischen Positionsmeßeinrichtung erfaßt werden soll. Beispielsweise handelt es sich bei den zueinander beweglichen Elementen um das Werkstück sowie das Werkzeug einer numerisch gesteuerten Werkzeugmaschine.

[0003] Üblicherweise besteht die Referenzmarkenstruktur auf Maßstab- und Abtastseite aus einer Anzahl alternierend angeordneter Bereiche mit optisch unterschiedlichen Eigenschaften. Je nachdem, ob es sich um eine Positionsmeßeinrichtung handelt, die im Durchlicht oder aber im Auflicht betrieben wird, sind die Bereiche entweder optisch durchlässig und nicht-durchlässig oder aber reflektierend und nicht-reflektierend ausgebildet. Sowohl auf Seiten des Maßstabes wie auch auf Seiten der Abtasteinheit sind in der Regel die identischen periodischen Strukturen in einem Referenzmarkenfeld angeordnet. Die Befeuchtung erfolgt dabei mit einem kollimierten Strahlenbündel. Jedem durchlässigen Bereich auf Maßstabseite ist bei der entsprechenden Relativposition exakt ein durchlässiger Bereich auf der Abtastseite zugeordnet. In diesem Zusammenhang sei etwa auf die DE 18 14 785 A der Anmelderin verwiesen.

[0004] Beispielsweise aus der US 5 065 017 A ist desweiteren bekannt, die Referenzmarkenstrukturen auf Maßstab- und Abtastseite dahingehend zu optimieren, daß bei einer definierten Relativposition von Maßstab und Abtasteinheit ein ausgeprägtes Signalmaximum resultiert und Nebenmaxima möglichst unterdrückt werden. Dies wird durch bestimmte aperiodische Verteilungen der Bereiche mit unterschiedlichen optischen Eigenschaften erreicht. Sowohl auf Maßstab- als auch auf Abtastseite sind hierzu jedoch identische Verteilungen der entsprechenden Bereiche vorgesehen.

[0005] Neben bislang diskutierten optischen Positionsmeßeinrichtungen, bei denen Maßstab- und Abtastteilungen über ein kollimiertes Strahlenbündel beleuchtet werden, sind desweiteren auch optische Positionsmeßeinrichtungen mit einer sogenannten divergenten Beleuchtung bekannt. Bei derartigen Positionsmeßeinrichtungen ist keine voluminöse Kollimations-Optik zwischen der Lichtquelle und der ersten, von den Strahlenbündeln durchlaufenen Teilungsstruktur erforderlich, so daß insbesondere ein kompakter Aufbau der optischen Positionsmeßeinrichtung möglich ist. Bezüglich derartiger Positionsmeßeinrichtungen sei beispielsweise auf die US 4 823 001 A verwiesen.

[0006] Auch bei diesen optischen Positionsmeßeinrichtungen ist wünschenswert, wenn Referenzimpulssignale bezüglich bestimmter Relativpositionen von Maßstab und Abtasteinheit erzeugbar sind. Die oben erwähnten Möglichkeiten zur Erzeugung eines Referenzimpulssignales erweisen sich bei einer vorgesehenen divergenten Beleuchtung in einer optischen Positionsmeßeinrichtung jedoch als nicht geeignet. Bei diesen Varianten wird bei der Dimensionierung der entsprechenden Strukturen auf Maßstab- und Abtastseite stets von einem kollimierten Strahlenbündel ausgegangen, das die Strukturen beleuchtet.

[0007] Aufgabe der vorliegenden Erfindung ist es daher, für eine optische Positionsmeßeinrichtung, die keine Kollimationsoptik erfordert, eine Möglichkeit zu schaffen, ein hochauflösendes Referenzimpulssignal an ein oder mehreren definierten Positionen zu erzeugen.

[0008] Diese Aufgabe wird gelöst durch eine optische Positionsmeßeinrichtung mit den Merkmalen des Anspruches 1.

[0009] Vorteilhafte Ausführungsformen der erfindungsgemäßen optischen Positionsmeßeinrichtung ergeben sich aus den Maßnahmen in den abhängigen Ansprüchen.

[0010] Erfindungsgemäß ist nunmehr vorgesehen, insgesamt drei unregelmäßige bzw. aperiodische Referenzimpuls-Strukturen derart aufeinander abzustimmen, daß auch im Fall einer divergenten Beleuchtung der verschiedenen Strukturen ein möglichst ausgeprägtes Maximum des Referenzimpulssignales bei ein oder mehreren definierten Relativpositionen von Maßstab und Abtasteinheit resultiert. Hierbei werden eine Re-

ferenzimpuls-Sendestruktur, eine Referenzimpuls-Abtaststruktur sowie eine Referenzimpuls-Maßstabstruktur über ein geeignetes Optimierungsverfahren gezielt aufeinander abgestimmt.

[0011] Es ergibt sich derart die Möglichkeit, auch bei einer äußerst kompakt aufgebauten optischen Positionsmesseinrichtung einen schmalen, hochauflösenden Referenzimpuls zu erzeugen. Der kompakte Aufbau des Gesamtsystems resultiert hierbei insbesondere aufgrund des möglichen divergenten Strahlenganges zwischen der Lichtquelle und der Referenzimpuls-Sendestruktur; in diesem Bereich ist keine ansonsten übliche Kollimationsoptik vorgesehen. Die erfindungsgemäßen Maßnahmen lassen sich dabei sowohl in Durchlicht- als auch in Auflicht-Ausführungen entsprechender Positionsmesseinrichtungen einsetzen. Ferner können sowohl Positionsmesseinrichtungen zur Erfassung von Linearbewegungen wie auch Positionsmesseinrichtungen zur Erfassung von rotatorischen Bewegungen damit ausgestattet werden.

[0012] Als weiterer Vorteil der erfindungsgemäßen optischen Positionsmesseinrichtung ist aufzuführen, daß bei bestimmten Anordnungen der Strukturen zur Erzeugung der Referenzimpulssignale relativ zu einer Inkrementalteilung eine hohe Moiré-Unempfindlichkeit resultiert. Insbesondere bei einer eventuellen geringfügigen Relativdrehung von Maßstabteilung und Abtasteinheit um eine Achse senkrecht zur Meßrichtung verändert sich die Form und Lage des erfindungsgemäß erzeugten Referenzimpulssignales praktisch nicht.

[0013] Besonders vorteilhaft erweisen sich auch die vorgeschlagenen Maßnahmen, um neben einem ersten Referenzimpulssignal auf die erfindungsgemäße Art und Weise ein hierzu komplementäres, zweites Referenzimpulssignal zu erzeugen. Derart läßt sich die Detektionssicherheit bei der Erfassung bzw. Auswertung der Referenzimpulssignale steigern.

[0014] Weitere Vorteile der erfindungsgemäßen optischen Positionsmesseinrichtung ergeben sich aus der nachfolgenden Beschreibung von Ausführungsbeispielen anhand der beiliegenden Zeichnungen.

[0015] Dabei zeigt

[0016] Fig. 1 ein schematisiert dargestelltes Ausführungsbeispiel verschiedener Strukturen in der erfindungsgemäßen optischen Positionsmesseinrichtung, ausgebildet als Durchlicht-Variante;

[0017] Fig. 2a ein erstes Ausführungsbeispiel eines erfindungsgemäß erzeugten Referenzimpulssignales;

[0018] Fig. 2b ein zu dem Referenzimpulssignal aus Fig. 2a zweites, komplementäres Referenzimpulssignal;

[0019] Fig. 2c das aus den beiden Referenzimpulssignalen in Fig. 2a und Fig. 2b gebildete resultierende Referenzimpulssignal;

[0020] Fig. 3a den Verlauf eines Referenzimpulssignales, resultierend aus einem zweiten Ausführungsbeispiel;

[0021] Fig. 3b ein weiteres Ausführungsbeispiel eines zweiten, komplementären Referenzimpulssignales, nunmehr zum Referenzimpulssignal aus Fig. 3a;

[0022] Fig. 4 ein Flußdiagramm zur Erläuterung eines Optimierungsverfahrens, nach dem geeignete Verteilungen der verschiedenen Strukturen bestimmt werden können;

[0023] Fig. 5a–Fig. 5d jeweils verschiedene Möglichkeiten der Anordnung der erfindungsgemäß ausgebildeten Referenzimpuls-Maßstabsstrukturen relativ zur Inkrementalteilung auf einem Maßstab;

[0024] Fig. 6 eine Draufsicht auf ein weiteres Ausführungsbeispiel der erfindungsgemäßen optischen Positionsmesseinrichtung in einer Auflicht-Ausführung.

[0025] Eine erste Ausführungsform der erfindungsgemäßen optischen Positionsmesseinrichtung ist in einer schematischen Teildarstellung in Fig. 1a gezeigt. Dargestellt sind hierbei lediglich diejenigen Komponenten der als Durchlicht-Variante ausgebildeten Positionsmesseinrichtung, die zur erfindungsgemäßen Erzeugung eines Referenzimpulssignales dienen. Auf die Darstellung derjenigen Teile, über die in bekannter Art und Weise inkrementelle Positionssignale erzeugbar sind, wurde aus Übersichtlichkeitsgründen verzichtet. Die erfindungsgemäße optische Positionsmesseinrichtung umfaßt zur Erzeugung mindestens eines Referenzimpulssignales eine Lichtquelle LQ, beispielsweise ausgebildet als LED. In Richtung der Strahlausbreitung nachgeordnet folgt

der Lichtquelle LQ erfindungsgemäß eine Referenzimpuls-Sendestruktur S, die eine unregelmäßige bzw. aperiodische erste Verteilung von Bereichen S_U , S_D mit unterschiedlichen optischen Eigenschaften aufweist. Im dargestellten Ausführungsbeispiel einer Durchlicht-Variante der erfindungsgemäßen optischen Positionsmesseinrichtung sind die Bereiche S_D , S_U der Referenzimpuls-Sendestruktur S alternierend optisch durchlässig und nicht-durchlässig ausgebildet. Zwischen der Lichtquelle LQ und der Referenzimpuls-Sendestruktur S ist beim dargestellten Ausführungsbeispiel im Gegensatz zu bekannten optischen Positionsmesseinrichtungen keine zusätzliche Optik angeordnet, die dort zur Kollimation der von der Lichtquelle gelieferten Strahlenbündel dient. Bei der erfindungsgemäßen optischen Positionsmesseinrichtung ist demzufolge ein divergenter Strahlengang zwischen der Lichtquelle und der nachgeordneten Referenzimpuls-Sendestruktur vorgesehen, d. h. eine divergente Beleuchtung. Derart ist ein äußerst kompakter Aufbau derselben möglich. Grundsätzlich kann alternativ zur gezeigten Variante ohne jegliche Kollimatoroptik auch eine Lichtquelle LQ eingesetzt werden, der zumindest eine Optik zur Teilkollimation vorgeordnet ist; nach wie vor resultiert jedoch eine divergente Abstrahlcharakteristik der Lichtquelle. Die letztgenannte Variante eignet sich insbesondere, wenn detektionsseitig eine größere Signalintensität erforderlich sein sollte. Zur geeigneten Wahl einer Verteilung der verschiedenen Bereiche S_U , S_D innerhalb der Referenzimpuls-Sendestruktur S sei auf die nachfolgende Beschreibung verwiesen.

[0026] Beim Ausführungsbeispiel der **Fig. 1** ist die Lichtquelle LQ in einem definierten Abstand d von der Referenzimpuls-Sendestruktur S entfernt angeordnet. Neben der dargestellten Variante, in der $d > 0$ gewählt ist, kann der Abstand d zwischen der Lichtquelle LQ und der Referenzimpuls-Sendestruktur S jedoch auch deutlich kleiner gewählt werden, bis hin zum Spezialfall $d \approx 0$. Auf diese Art und Weise läßt sich die Divergenz der Lichtquelle LQ variieren. Je nach dem gewählten Abstand d verändern sich die zu wählenden Strukturen zur Erzeugung des Referenzimpulssignales.

[0027] In Richtung der Strahlausbreitung folgt der Referenzimpuls-Sendestruktur S nachgeordnet eine Referenzimpuls-Maßstabstruktur M, die eine zweite unregelmäßige Verteilung von Bereichen M_U , M_D mit zwei unterschiedlichen optischen Eigenschaften aufweist. Die Referenzimpuls-Maßstabstruktur M ist hierbei in Meßrichtung x relativ beweglich zur Referenzimpuls-Sendestruktur S angeordnet. Die auf Seiten des Maßstabes in x-Richtung an die Referenzimpuls-Maßstabstruktur M angrenzenden Bereiche sind im Fall der Durchlicht-Variante undurchlässig ausgebildet. Vom abgetasteten Maßstab ist demzufolge in **Fig. 1** lediglich ein Teilbereich dargestellt.

[0028] Desweiteren umfaßt die erfindungsgemäße optische Positionsmesseinrichtung eine Referenzimpuls-Abtaststruktur A, mit einer dritten unregelmäßigen Verteilung von Bereichen A_U , A_D , die unterschiedliche optische Eigenschaften aufweisen. Der Referenzimpuls-Abtaststruktur A ist ein optoelektronisches Detektorelement D nachgeordnet, über das die Strahlenbündel erfaßt werden, die die drei Referenzimpuls-Strukturen S, M, A durchlaufen haben und je nach Relativposition der verschiedenen -Strukturen S, M, A ein bestimmtes Intensitätsmuster in der Detektorebene erzeugen. Nicht mehr dargestellt ist in **Fig. 1** eine dem Detektorelement D nachgeordnete, bekannte Auswerteelektronik.

[0029] Neben der in **Fig. 1** schematisiert dargestellten Anordnung der verschiedenen Komponenten der erfindungsgemäßen optischen Positionsmesseinrichtung existieren selbstverständlich alternative Anordnungsmöglichkeiten, die sich beispielsweise hinsichtlich der Abstände der einzelnen Komponenten voneinander unterscheiden. So kann etwa die Referenzimpuls-Sendestruktur S wie oben erwähnt unmittelbar vor der Lichtquelle LQ angeordnet werden. Ferner könnte die Referenzimpuls-Sendestruktur als Strukturierung der lichtemittierenden Fläche einer geeigneten Lichtquelle ausgebildet werden. Erfindungsgemäß wird die Referenzimpuls-Abtaststruktur A durch eine Strukturierung der lichtempfindlichen Fläche des Detektorelementes D gebildet.

[0030] In der dargestellten Ausführungsform der optischen Positionsmesseinrichtung sind gegenüber der Referenzimpuls-Maßstabstruktur M die restlichen, in **Fig. 1** dargestellten Komponenten wie Lichtquelle LQ, Referenzimpuls-Sendestruktur S, Referenzimpuls-Abtaststruktur A und optoelektronischem Detektorelement D beweglich in Meßrichtung x angeordnet. Die letztgenannten Komponenten LQ, S, A und D können beispielsweise auf einem Trägerelement in einer geeignet ausgebildeten Abtasteinheit angeordnet sein, die gegenüber der Referenzimpuls-Maßstabstruktur M verschiebbar ist. Die Referenzimpuls-Maßstabstruktur M ist dabei auf einem geeigneten Maßstab angeordnet, der etwa aus einem Glas-Teilungsträger besteht, auf dem zudem auch ein oder mehrere bekannte Inkrementalteilungen angeordnet sind. Maßstab und Abtasteinheit sind z. B. mit zwei zueinander beweglichen Teilen einer Werkzeugmaschine verbunden, deren Relativposition über die erfindungsgemäße optische Positionsmesseinrichtung hochgenau bestimmt werden soll.

[0031] Wie bereits mehrfach angedeutet, ist in **Fig. 1** eine Durchlicht-Variante der erfindungsgemäßen optischen Positionsmesseinrichtung dargestellt. Die jeweiligen Bereiche S_U , S_D , M_U , M_D , A_U , A_D der verschiedenen

Strukturen S, M, A mit unterschiedlichen optischen Eigenschaften sind daher durchlässig und nicht-durchlässig für die verwendete Strahlungswellenlänge ausgebildet. Im Fall einer Auflicht-Ausführungsform wäre demgegenüber etwa die Referenzimpuls-Maßstabstruktur M dergestalt auszubilden, daß reflektierende und nicht-reflektierende Bereiche entsprechend unregelmäßig angeordnet werden. Auf Seiten der Referenzimpuls-Sende- und Abtaststruktur wären ebenfalls wieder alternierend angeordnete durchlässige und nicht-durchlässige Bereiche vorzusehen. In einer weiteren Ausführungsform wäre es schließlich möglich, die Bereiche mit unterschiedlichen optischen Eigenschaften derart auszugestalten, daß Bereiche vorgesehen werden, die eine feine Gitterstrukturierung aufweisen, während die anderen Bereiche keine derartige Strukturierung besitzen. Es existieren somit ein Reihe von Möglichkeiten, wie die Bereiche mit unterschiedlichen optischen Eigenschaften ausgestaltet werden können.

[0032] Erfindungsgemäß werden die insgesamt drei Verteilungen von Bereichen S_U , S_D , M_U , M_D , A_U , A_D mit verschiedenen optischen Eigenschaften derart aufeinander abgestimmt bzw. entsprechend gewählt, daß im Fall einer definierten Relativposition der zueinander beweglichen Strukturen über das Detektorelement D ein Referenzimpulssignal mit hinreichender Intensität resultiert. Zudem ist eine ausreichende Unterdrückung eventueller Nebenmaxima sichergestellt.

[0033] Insbesondere ist bei den optimierten Verteilungen gewährleistet, daß eine Wechselwirkung der aus einem Bereich (M_U , M_D) der Referenzimpuls-Maßstabstruktur (M) kommenden Strahlenbündel mit mehreren Bereichen (A_U , A_D) der Referenzimpuls-Abtaststruktur (A) resultiert. Dies bedeutet etwa im Fall einer reflektierend bzw. nicht-reflektierend ausgebildeten Referenzimpuls-Maßstabstruktur (M) und einer durchlässig bzw. nicht-durchlässig ausgebildeten Referenzimpuls-Abtaststruktur (A), daß bei einer definierten Relativposition Strahlenbündel aus einem Bereich (M_U , M_D) der Referenzimpuls-Maßstabstruktur (M_U , M_D) mehrere optisch durchlässige Bereiche (A_D) der Referenzimpuls-Abtaststruktur (A) durchtreten.

[0034] Der Intensitätsverlauf eines Referenzimpulssignales, der sich an einer mit „0“ bezeichneten Relativposition von Maßstab und Abtasteinheit mit erfindungsgemäß gewählten Verteilungen ergibt, ist in **Fig. 2a** dargestellt. Aufgrund der geeignet aufeinander abgestimmten Verteilungen von Bereichen S_U , S_D , M_U , M_D , A_U , A_D unterschiedlicher optischer Eigenschaften ist eine hinreichende Signalintensität bzw. ausreichender Signal-Nutzanteil bei der Position „0“ von Maßstab und Abtasteinheit gewährleistet.

[0035] Selbstverständlich kann die erfindungsgemäß ausgebildete optische Positionsmeßeinrichtung nicht nur an einer einzigen definierten Relativposition der zueinander beweglichen Teile mit derartigen Strukturen zur Erzeugung eines Referenzimpulssignales ausgestattet werden; es ist vielmehr möglich, an verschiedenen Positionen des Maßstabes entsprechende Felder mit Referenzimpuls-Maßstabstrukturen M gemäß **Fig. 1** anzuordnen.

[0036] Die unregelmäßigen Verteilungen der Bereiche S_U , S_D , M_U , M_D , A_U , A_D mit unterschiedlichen optischen Eigenschaften zur Erzeugung eines Referenzimpulssignales bei einer definierten Relativposition der zwei zueinander beweglichen Teile ergeben sich über ein nachfolgend anhand von **Fig. 4** erläutertes Optimierungsverfahren. Hierbei handelt es sich um ein mögliches Ausführungsbeispiel eines geeigneten Optimierungsverfahrens, d. h. es sind durchaus alternative Varianten zur Ermittlung der verschiedenen Verteilungen einsetzbar. Sämtliche Optimierungsverfahren werden dabei vorzugsweise numerisch mit Hilfe eines geeigneten Rechners durchgeführt. Ziel der Optimierungsverfahren ist hierbei, daß die Verteilungen der im Fall einer Durchlicht-Variante durchlässigen und nicht-durchlässigen Bereiche S_U , S_D , M_U , M_D , A_U , A_D auf Seiten der verschiedenen Strukturen S, M und A bei der zu erfassenden Relativposition „0“ ein Referenzimpulssignal hinreichender Intensität gewährleisten. Eventuell resultierende Nebenmaxima sollen wegen der geforderten Detektionssicherheit für das Referenzimpulssignal möglichst unterdrückt werden.

[0037] Beim Optimierungs-Verfahren gemäß **Fig. 4** wird im ersten Schritt S1 die Abstrahlcharakteristik einer divergenten Lichtquelle LQ, d. h. die entsprechenden Parameter bestimmt. Im nächsten Schritt S2 werden dann zwei der drei unregelmäßigen Verteilungen von Bereichen mit unterschiedlichen optischen Eigenschaften willkürlich vorgegeben. Beispielsweise kann die Verteilung der verschiedenen Bereiche für die Referenzimpuls-Sendestruktur S sowie die Verteilung für die Referenzimpuls-Maßstabstruktur M als Startstrukturen vorgegeben werden. Grundsätzlich könnten jedoch auch zwei andere Strukturen willkürlich vorgegeben werden. Auf Grundlage der Verteilungen der beiden Strukturen wird im nachfolgenden Schritt S3 des Optimierungs-Verfahrens die daraus resultierende Intensitätsverteilung in einer Detektorebene numerisch modelliert bzw. bestimmt. In einer praktikablen Ausführungsform des Optimierungs-Verfahrens wird bei der Bestimmung der resultierenden Intensitätsverteilung im Schritt S3 von einer Positionsmeßeinrichtung ausgegangen, die im Schattenwurf betrieben wird. Selbstverständlich können unter Inkaufnahme eines höheren Rechenaufwandes dabei auch

Beugungseffekte berücksichtigt werden. Nachdem die Intensitätsverteilung in der Detektorebene bekannt ist, wird die Verteilung der Bereiche unterschiedlicher optischer Eigenschaften auf Seiten der Referenzimpuls-Abtaststruktur A unter Berücksichtigung einzelner, sogenannter Merit-Kriterien im Schritt S4 optimiert. Es wird demzufolge die dritte, bislang noch nicht vorgegebene Verteilung der Referenzimpuls-Abtaststruktur A in Abhängigkeit der beiden vorgegeben Startstrukturen S, M optimiert. Geeignete Merit-Kriterien für die Optimierung der dritten Verteilung A sind etwa der möglichst große Modulationsgrad des Referenzimpulssignales und/oder der resultierende Nutzanteil des Referenzimpulssignales in der Detektorebene. Zur eigentlichen Optimierung unter Berücksichtigung der erwähnten Merit-Kriterien wird die Intensitätsverteilung des Referenzimpulssignales in der Detektorebene betrachtet, während die Verteilung der Bereiche unterschiedlicher optischer Eigenschaften auf Seiten der Referenzimpuls-Abtaststruktur A variiert wird. Im Schritt S5 erfolgt jeweils eine Überprüfung, inwieweit die aktuelle Kombination der drei Verteilungen und das daraus resultierende Referenzimpulssignal einem bestimmten Abbruchkriterium genügen. Ist dies der Fall, so wird das Optimierungsverfahren abgebrochen und im Schritt S6 die entsprechenden Verteilungen für die Bereiche mit unterschiedlichen optischen Eigenschaften der drei Strukturen S, M und A ausgegeben. Sollten sich die vorgegebenen Abbruchkriterien nicht über das Optimieren der dritten Verteilung bzw. Struktur erfüllen lassen, so wird im nächsten Durchlauf des Algorithmus im Schritt S2 eine der Startstrukturen variiert und eine der anderen Strukturen in der beschriebenen Art und Weise optimiert.

[0038] Auf diese Art und Weise können die drei Verteilungen der Bereiche der Referenzimpuls-Sendestruktur S, der Referenzimpuls-Maßstabstruktur M sowie der Referenzimpuls-Abtaststruktur A schrittweise optimiert werden, bis das resultierende Referenzimpulssignal den vorgegebenen Anforderungen entspricht.

[0039] Die mittels eines derartigen Optimierungsalgorithmus bestimmten drei Verteilungen für die Bereiche unterschiedlicher optischer Eigenschaften sind für das in **Fig. 2a** dargestellte Ausführungsbeispiel eines Referenzimpulssignales in Tabelle 1a aufgeführt.

Tabelle 1a

Referenzimpuls-Sendestruktur (11 Bereiche, Breite je 40 µm)

durchlässige Bereiche: 1, 4, 6, 10

Referenzimpuls-Maßstabstruktur (45 Bereiche, Breite je 20 µm)

durchlässige Bereiche: 1, 3, 5, 6, 7, 8, 9, 14, 15, 17, 19, 21, 24, 28, 33, 34, 35, 39, 40, 43, 44

Referenzimpuls-Abtaststruktur (23 Bereiche, Breite je 40 µm)

durchlässige Bereiche: 1, 2, 5, 7, 8, 10, 12, 15, 20, 21, 22, 23

[0040] Hierbei geben die in Tabelle 1a aufgeführten Zahlen, die den Verteilungen der Referenzimpuls-Sendestruktur, -Maßstabstruktur und -Abtaststruktur zugeordnet sind, die Nummern der durchlässigen Teilbereiche der jeweiligen Struktur an, wenn diese Strukturen in eine Anzahl von gleich breiten Teilbereichen unterteilt werden. Die Gesamtheit der jeweiligen Teilbereiche bildet jeweils ein Feld. Im Fall der Referenzimpuls-Sendestruktur umfaßt das komplette Feld 11 Teilbereiche mit einer Breite in Meßrichtung von je 40 µm. Das Feld mit der Referenzimpuls-Maßstabstruktur umfaßt 45 Teilbereiche, die jeweils 20 µm breit sind. Das Feld mit der Referenzimpuls-Abtaststruktur weist 20 Teilbereiche auf, die jeweils 40 µm breit sind. Bei diesem Ausführungsbeispiel wurde desweiteren jeweils von einem Abstand von 0,7 mm zwischen Lichtquelle und Referenzimpuls-Sendestruktur, zwischen Referenzimpuls-Sendestruktur und Referenzimpuls-Maßstabstruktur sowie zwischen Referenzimpuls-Maßstabstruktur und Referenzimpuls-Abtaststruktur ausgegangen.

[0041] Im Fall einer Auflicht-Variante der erfindungsgemäßen Positionsmeßeinrichtung würden die angegebenen Zahlen bei der Referenzimpuls-Maßstabstruktur natürlich den reflektierenden Bereichen entsprechen; die beiden anderen Strukturen könnten hingegen identisch zu den durchlässig/undurchlässig ausgebildeten Referenzimpuls-Sende- und Abtaststrukturen der Durchlicht-Variante ausgebildet werden.

[0042] Die in Tabelle 1a dargestellte Variante für die drei Verteilungen der Bereiche auf Seiten der Referenzimpuls-Strukturen S, M und A liefert ein ca. 20 µm breites Referenzimpulssignal für eine Inkrementalteilung mit einer Teilungsperiode von 20 µm.

[0043] In der nachfolgenden Tabelle 1b ist ein Ausführungsbeispiel einer erfindungsgemäßen Verteilung von Bereichen der verschiedenen Strukturen zur Erzeugung eines komplementären, zweiten Referenzimpulssignales zum ersten Referenzimpulssignal aus **Fig. 1a** bzw. Tabelle 1a aufgeführt. Dieses Ausführungsbeispiel unterscheidet sich dabei vom vorherigen Ausführungsbeispiel durch die anders optimierte Referenzimpuls-Abtaststruktur, d. h. die beiden anderen Strukturen sind identisch zum vorigen Beispiel

Tabelle 1b

Referenzimpuls-Sendestruktur (11 Bereiche, Breite je 40 μm)

durchlässige Bereiche: 1, 4, 6, 10

Referenzimpuls-Maßstabstruktur (45 Bereiche, Breite je 20 μm)

durchlässige Bereiche: 1, 3, 5, 6, 7, 8, 9, 14, 15, 17, 19, 21, 24, 28, 33, 34, 35, 39, 40, 43, 44

Referenzimpuls-Abtaststruktur (23 Bereiche, Breite je 40 μm)

durchlässige Bereiche: 3, 4, 9, 11, 13, 14, 18, 19

[0044] Es läßt sich mit einer derartigen Verteilung demzufolge neben dem oben erwähnten ersten Referenzimpulssignal ein weiteres, zweites Referenzimpulssignal erzeugen, das nachfolgend als komplementäres Signal zum ersten Referenzimpulssignal bezeichnet sei. Das in **Fig. 2b** dargesiellte erste Beispiel eines komplementären Referenzimpulssignales kann auch als Pseudo-Gegentaktsignal bezeichnet werden. Der entsprechende Signalverlauf des Referenzimpulssignales, wie er aus einer Verteilung gemäß Tabelle 1b resultiert, ist in **Fig. 2b** dargestellt.

[0045] Mit Hilfe eines zur Verfügung stehenden komplementären Referenzimpulssignales läßt sich die Detektionssicherheit hinsichtlich dieses Signales vergrößern, insbesondere das Signal-Rausch-Verhältnis vergrößern. So werden dann die beiden einzelnen Referenzimpulssignale gemäß **Fig. 2a** und **Fig. 2b** auf elektronischem Wege geeignet miteinander kombiniert, indem die beiden Referenzimpulssignale in Differenz geschaltet werden. Es ergibt sich letztlich ein resultierendes Referenzimpulssignal $I_S = I_a - I_b$, wie es in **Fig. 2c** dargestellt ist. Bei dem in **Fig. 2c** dargestellten Signalverlauf ist deutlich der nunmehr vergrößerte Nutzanteil des resultierenden Referenzimpulssignales im Vergleich zu den beiden Einzelsignalen in den **Fig. 2a** und **Fig. 2b** erkennbar.

[0046] Eine weitere Möglichkeit zur Erzeugung eines zweiten, komplementären Referenzimpulssignales besteht darin, die Referenzimpuls-Maßstabstrukturen des komplementären, zweiten Referenzimpulssignales invers zu den Referenzimpuls-Maßstabstrukturen des ersten Referenzimpulssignales auszubilden. Die Erzeugung des komplementären, zweiten Referenzimpulssignales entspricht damit der bekannten Bildung eines sogenannten „echten“ Gegenteil-Referenzimpulssignales. Im Fall von Strukturen mit reflektierenden und nicht-reflektierenden Bereichen bedeutet dies etwa, daß an derjenigen Stelle der Maßstab-Referenzimpulsstruktur für das erste Referenzimpulssignal, an der z. B. ein reflektierender Bereich ist, im Fall der Maßstab-Referenzimpulsstruktur des zweiten, komplementären Referenzimpulssignales ein nicht-reflektierender Bereich angeordnet ist usw.. Der Signalverlauf eines ersten, erfindungsgemäß erzeugten Referenzimpulssignales ist in **Fig. 3a** dargestellt. Ein zweites Ausführungsbeispiel bzgl. der Erzeugung eines komplementären, zweiten Referenzimpulssignales ist in **Fig. 3b** gezeigt, nunmehr wie oben erläutert als „echtes“ Gegenteil-Referenzimpulssignal ausgebildet.

[0047] In der nachfolgenden Tabelle 2a ist wiederum die Verteilung von Bereichen innerhalb der verschiedenen Strukturen aufgeführt, über die die Erzeugung einer Signalform gemäß **Fig. 3a** möglich ist.

Tabelle 2a

Referenzimpuls-Sendestruktur (15 Bereiche, Breite je 40 μm)

durchlässige Bereiche: 1, 2, 4, 5, 7, 9, 11, 14, 15

Referenzimpuls-Maßstabstruktur (45 Bereiche, Breite je 20 μm)

durchlässige Bereiche: 1, 5, 6, 8, 16, 17, 1, 23, 25, 29, 34, 35, 36, 45,

Referenzimpuls-Abtaststruktur (23 Bereiche, Breite je 40 μm)

durchlässige Bereiche: 1, 9, 13, 19, 22, 23

[0048] Ein „echtes“ Gegentakt-Referenzimpulssignal gemäß **Fig. 3b** ergibt sich auf Grundlage von Verteilungen für die verschiedenen Strukturen gemäß der nachfolgenden Tabelle 2b.

Tabelle 2b

Referenzimpuls-Sendestruktur (15 Bereiche, Breite je 40 μm)

durchlässige Bereiche: 1, 2, 4, 5, 7, 9, 11, 14, 15

Referenzimpuls-Maßstabstruktur (45 Bereiche, Breite je 20 μm)

durchlässige Bereiche: 2, 3, 4, 7, 9, 10, 11, 12, 13, 14, 15, 18, 19, 20, 22, 24, 26, 27, 28, 30, 31, 32, 33, 37, 38, 39, 40, 41, 42, 43, 44

Referenzimpuls-Abtaststruktur (23 Bereiche, Breite je 40 μm)

durchlässige Bereiche: 1, 9, 13, 19, 22, 23

[0049] Zur Erzeugung der beiden unterschiedlichen Signalformen gemäß den **Fig. 3a** und **Fig. 3b** sind demzufolge zueinander inverse Verteilungen der Bereiche auf Seiten der Referenzimpuls-Maßstabstrukturen vorgesehen. In der Regel sind zu diesem Zweck zwei unterschiedlich ausgebildete Felder mit derartigen Verteilungen auf dem Maßstab angeordnet. Die Abtastung der beiden Felder kann mit Hilfe einer Abtasteinheit erfolgen, die zur Erzeugung der dargestellten Signalformen identische Referenzimpuls-Sende- und Abtaststrukturen aufweist.

[0050] Hinsichtlich der Anordnung der erfindungsgemäß ausgebildeten Referenzimpuls-Strukturen relativ zur Inkrementalteilung der optischen Positionsmeßeinrichtung ergeben sich eine Reihe von Möglichkeiten, die nachfolgend anhand der Ausführungsbeispiele der **Fig. 5a–Fig. 5d** kurz erläutert seien. Dargestellt ist hierbei jeweils lediglich eine Draufsicht auf einen Maßstab, demgegenüber in x-Richtung beweglich eine nicht-dargestellte Abtasteinheit angeordnet ist. Im Ausführungsbeispiel der **Fig. 5a** ist auf Seiten des Maßstabes eine erfindungsgemäß ausgebildete Referenzimpuls-Maßstabstruktur M seitlich benachbart zu einer Inkrementalteilung IT angeordnet, d. h. senkrecht zur Meßrichtung x. Entsprechend ist auf Seiten der Abtasteinheit dann seitlich benachbart zur Inkremental-Abtasteinheit eine erfindungsgemäß ausgebildete Referenzimpuls-Abtaststruktur angebracht. Mit Hilfe einer derartigen Anordnung läßt sich demzufolge ein erstes Referenzimpulssignal bei einer definierten Relativlage von Maßstab und Abtasteinheit erzeugen.

[0051] Eine alternative Möglichkeit, die erfindungsgemäß ausgebildete Referenzimpuls-Maßstabstruktur anzuordnen ist in **Fig. 5b** dargestellt. Dort ist vorgesehen, mindestens eine entsprechende Referenzimpuls-Maßstabstruktur M an einem Ende der Inkrementalteilung IT anzubringen.

[0052] Eine Möglichkeit zur Anordnung von Referenzimpuls-Maßstabstrukturen M, M', die ein erstes und ein zweites bzw. komplementäres Referenzimpulssignal an einer definierten Relativposition erzeugen, ist in **Fig. 5c** gezeigt. Die beiden Referenzimpuls-Maßstabstrukturen M, M' sind hierbei jeweils seitlich benachbart zur Inkrementalteilung IT auf dem Maßstab angeordnet. Die beiden Referenzimpuls-Maßstabstrukturen M, M' können dabei etwa identisch wie bei den Ausführungsbeispielen der Tabellen 1a und 1b ausgebildet sein. Unterschiedlich sind gemäß den Tabellen 1a und 1b jedoch die zugehörigen Referenzimpuls-Abtaststrukturen auf Seiten der – nicht dargestellten – Abtasteinheit ausgebildet, um durch die Abtastung der Referenzimpuls-Maßstabstruktur ein komplementäres zweites Referenzimpulssignal zu erzeugen. Alternativ können aber auch die beiden Referenzimpuls-Maßstabstrukturen unterschiedlich ausgebildet sein, während die zur Abtastung erforderlichen Referenzimpuls-Sende- und Abtaststrukturen identisch ausgebildet sind, d. h. diese Variante liefert Referenzimpulssignale entsprechend den **Fig. 3a** und **Fig. 3b** auf Grundlage der Verteilungen in den Tabellen 2a und 2b.

[0053] Insbesondere die Ausführungsformen der **Fig. 5b**, **Fig. 5c** und **Fig. 5d** erweisen sich hinsichtlich ihrer Moiré-Unempfindlichkeit als vorteilhaft. Dies bedeutet, daß auch bei einer eventuellen Verdrehung der Abtas-

teinheit um eine Achse senkrecht zur Meßrichtung x ein Referenzimpuls-signal an der gewünschten Position resultiert.

[0054] Ebenso können jedoch auch gemäß **Fig. 5d** Referenzimpuls-Maßstabstrukturen **M** und **M'** seitlich benachbart zur Inkrementalteilung **IT** angeordnet werden, die in bekannter Art und Weise ein Takt- und Gegen-takt-Referenzimpuls-signal liefern. In diesem Fall sind die jeweiligen Referenzimpuls-Strukturen invers zueinander ausgebildet, d. h. an den gleichen x-Positionen sind in einem der beiden Felder durchlässige Bereiche vorgesehen, während im anderen Feld dort undurchlässige Bereiche angeordnet sind etc.

[0055] Bei den in den **Fig. 5a–Fig. 5d** gezeigten Ausführungsbeispielen kann es sich sowohl um Maßstäbe für Durchlicht- wie auch für Auflicht-Varianten der erfindungsgemäßen optischen Positionsmeßeinrichtung handeln. Je nachdem ist eine durchlässige oder aber eine reflektierende Inkrementalteilung **IT** einzusetzen.

[0056] Eine weitere Ausführungsform der erfindungsgemäßen optischen Positionsmeßeinrichtung ist in **Fig. 6** in einer schematisierten Darstellung gezeigt, wobei es sich hierbei um eine Auflicht-Variante derselben handelt. Erkennbar sind in der Draufsicht gemäß **Fig. 6** dabei ein stationär angeordneter Maßstab **10** sowie eine relativ, in Meßrichtung x, hierzu bewegliche Abtasteinheit **20**. Der Maßstab **10** besteht aus einem Teilungsträger **1**, vorzugsweise aus Glas oder Stahl, auf dem in Meßrichtung x eine Inkrementalteilung **2** mit einer definierten Teilungsperiode **TP** angeordnet ist. Im dargestellten Bereich des Maßstabes **10** ist desweiteren ein Feld auf dem Teilungsträger **1** erkennbar, das die erfindungsgemäß ausgebildete Referenzimpuls-Maßstabstruktur **3** enthält. Sowohl die Inkrementalteilung **2** als auch die Referenzimpuls-Maßstabstruktur **3** sind in dieser Ausführungsform der erfindungsgemäßen Positionsmeßeinrichtung als alternierende Abfolge von reflektierenden und nichtreflektierenden Bereichen ausgebildet. Die Längsrichtung der Bereiche mit unterschiedlichen optischen Eigenschaften ist in der Zeichenebene senkrecht zur Meßrichtung x orientiert.

[0057] Zur Erzeugung der inkrementellen Positionssignale umfaßt die Abtasteinheit **20** eine Lichtquelle **5**, vorzugsweise ausgebildet als LED. Um die Lichtquelle **5** herum sind insgesamt vier Detektorelemente **9a**, **9b**, **9c**, **9d** erkennbar, mittels der die von der Inkrementalteilung **2** reflektierten Strahlenbündel erfaßt werden. Die Anordnung der Detektorelemente **9a–9d** erfolgt dabei dergestalt, daß damit jeweils um 90° phasenversetzte Abtastsignale erzeugbar sind. Auf einem lichtdurchlässigen Trägerelement **4** sind desweiteren – in **Fig. 6** nicht erkennbare – Strukturierungen vorgesehen, die im Bereich vor der Lichtquelle **5** als Sendestruktur wirken und im Bereich vor den lichtempfindlichen Detektorflächen als Abtaststrukturen für die Inkrementalteilung **2** fungieren. Die Kontaktierung der Detektorelemente **9a–9d** und der Lichtquelle **5** erfolgt mittels einer ebenfalls nicht dargestellten Leiterplatte, über die zudem auch die mechanische Stabilisierung der Abtasteinheit **20** erfolgt.

[0058] Zur erfindungsgemäßen Erzeugung von Referenzimpulssignalen ist auf Seiten der Abtasteinheit **20** eine weitere Lichtquelle **6** vorgesehen, die ebenfalls auf dem Trägerelement **4** angeordnet ist und mittels einer Leiterplatte oder eines flexiblen Leiterbandes kontaktierbar ist. Seitlich benachbart zur Lichtquelle **6** sind zwei Detektorelemente **10a**, **10b** erkennbar, über die ein erstes und ein zweites Referenzimpulssignal erfaßbar ist. Hierbei werden über die beiden Detektorelemente **10a**, **10b** zueinander komplementäre Referenzimpulssignale detektiert, die entsprechend den vorab erläuterten Prinzipien erzeugt werden können. Die Referenzimpuls-Sendestruktur ist in dieser Ausführungsform auf dem Trägerelement **4** der Abtasteinheit im Bereich vor der Lichtquelle **6** angeordnet. Ebenfalls auf dem Trägerelement **4** sind die Referenzimpuls-Abtaststrukturen vor den lichtempfindlichen Flächen der Detektorelemente **10**, **10b** angebracht. Die Verteilungen der optisch durchlässigen und nicht-durchlässigen Bereiche in den Referenzimpuls-Sende-, Maßstab- und Abtaststrukturen wurden wiederum gemäß dem oben erläuterten Optimierungsverfahren aufeinander abgestimmt.

[0059] Das in **Fig. 6** dargestellte Ausführungsbeispiel der erfindungsgemäßen optischen Positionsmeßeinrichtung gewährleistet eine besonders kompakte Bauweise und ermöglicht die Erzeugung hochauflösender Referenzimpulssignale. Selbstverständlich sind im Rahmen der erfindungsgemäßen Überlegungen jedoch auch alternative Ausführungsvarianten realisierbar. Beispielsweise kann auf Seiten der Abtasteinheit auch lediglich eine einzige Lichtquelle zur Erzeugung der Inkrementalsignale und der Referenzimpulssignale eingesetzt werden. Ferner existieren – wie bereits erwähnt – verschiedene Möglichkeiten hinsichtlich der Erzeugung zweier komplementärer Referenzimpulssignale. So können z. B. gleiche Sende- und Maßstabstrukturen, aber unterschiedliche Abtaststrukturen eingesetzt werden. Daneben ist es möglich verschiedene Sendestrukturen, eine identische Maßstabstruktur und wiederum zwei unterschiedliche Abtaststrukturen zur Erzeugung der zwei komplementären Referenzimpulssignale vorzusehen. Ebenso könnte jedoch auch eine gemeinsame Sendestruktur und jeweils unterschiedliche Maßstab- und Abtaststrukturen zu diesem Zweck eingesetzt werden usw..

Es resultieren somit sowohl im Rahmen dieser Ausführungsform als auch im Rahmen der vorab erläuterten Varianten eine Reihe von Möglichkeiten, die erfindungsgemäßen Maßnahmen je nach Anwendung zu variieren.

Patentansprüche

1. Optische Positionsmeßeinrichtung, über die neben anderen Positionssignalen bezüglich der Relativlage zweier zueinander beweglicher Objekte auch mindestens ein Referenzimpulssignal bezüglich einer definierten Relativposition der zwei Objekte erzeugbar ist, mit

- einer Lichtquelle (LQ),
- einer vor der Lichtquelle (LQ) angeordneten Referenzimpuls-Sendestruktur (S), die eine erste, unregelmäßige Verteilung von Bereichen (S_U , S_D) mit zwei unterschiedlichen optischen Eigenschaften aufweist, wobei der Strahlengang zwischen der Lichtquelle (LQ) und der Referenzimpuls-Sendestruktur (S) divergent ist,
- einer in Richtung der Strahlausbreitung benachbart zur Referenzimpuls-Sendestruktur (S) angeordneten Referenzimpuls-Maßstabstruktur (M), die eine zweite unregelmäßige Verteilung von Bereichen (M_U , M_D) mit zwei unterschiedlichen optischen Eigenschaften aufweist,
- einer Referenzimpuls-Abtaststruktur (A), die der Referenzimpuls-Maßstabstruktur (M) nachgeordnet ist und die eine dritte unregelmäßige Verteilung von Bereichen (A_U , A_D) umfasst und in Form einer Strukturierung der lichtempfindlichen Fläche eines optoelektronischen Detektorelements (D) zur Erfassung der transmittierter und/oder reflektierter Strahlenbündel ausgebildet ist, wobei die Referenzimpuls-Maßstabstruktur (M) gegenüber der Referenzimpuls-Sendestruktur (S) und der Referenzimpuls-Abtaststruktur (A) beweglich angeordnet ist,
- wobei die Referenzimpuls-Sendestruktur (S), die Referenzimpuls-Maßstabstruktur (M) und die Referenzimpuls-Abtaststruktur (A) derart ausgestaltet sind, daß bei einer definierten Relativposition der zueinander beweglichen Strukturen Strahlenbündel aus einem Bereich (M_U , M_D) der Referenzimpuls-Maßstabstruktur (M) mit mehreren Bereichen (A_U , A_D) der Referenzimpuls-Abtaststruktur (A) wechselwirken, so daß über das mindestens eine optoelektronische Detektorelement (D) ein erstes Referenzimpulssignal hinreichender Intensität erfassbar ist.

2. Optische Positonsmeßeinrichtung nach Anspruch 1, wobei die Bereiche (S_U , S_D , M_U , M_D) zweier Strukturen (S, M) alternierend optisch durchlässig und nicht-durchlässig ausgebildet sind.

3. Optische Positonsmeßeinrichtung nach Anspruch 1, wobei die Bereiche (S_U , S_D , M_U , M_D) mindestens einer Struktur (S, M) alternierend reflektierend und nicht-reflektierend ausgebildet sind.

4. Optische Positionsmeßeinrichtung nach Anspruch 1, wobei die Referenzimpuls-Sendestruktur (S) alternierend angeordnete, optisch durchlässige und nicht-durchlässige Bereiche (S_U , S_D) umfaßt und die Referenzimpuls-Maßstabstruktur (M) alternierend angeordnete, reflektierende und nicht-reflektierende Bereiche (M_U , M_D) umfaßt.

5. Optische Positionsmeßeinrichtung nach Anspruch 4, wobei die Referenzimpuls-Sendestruktur (S) und die Referenzimpuls-Abtaststruktur (A) auf einem gemeinsamen ersten Trägerelement angeordnet sind und die Referenzimpuls-Maßstabstruktur (M) auf einem zweiten Trägerelement angeordnet ist, welches gegenüber dem ersten Trägerelement beweglich angeordnet ist.

6. Optische Positionsmeßeinrichtung nach Anspruch 5, wobei das erste Trägerelement lichtdurchlässig ausgebildet ist.

7. Optische Positionsmeßeinrichtung nach Anspruch 5, wobei auf dem ersten Trägerelement auch die Lichtquelle (LQ) sowie mindestens ein optoelektronisches Detektorelement (D) angeordnet ist.

8. Optische Positionsmeßeinrichtung nach Anspruch 5, wobei auf dem zweiten Trägerelement desweiteren mindestens eine Inkrementalteilung (IT) und auf dem ersten Trägerelement eine inkrementelle Abtastteilung angeordnet ist, über die eine Erzeugung inkrementeller Positionssignale möglich ist.

9. Optische Positionsmeßeinrichtung nach Anspruch 1, wobei eine zweite Referenzimpuls-Sendestruktur, eine zweite Referenzimpuls-Maßstabstruktur (M') sowie eine zweite Referenzimpuls-Abtaststruktur vorhanden sind, die ebenfalls von der Lichtquelle (LQ) beleuchtet werden und denen mindestens ein zweites optoelektronisches Detektorelement zur Erfassung eines zweiten Referenzimpulssignales zugeordnet ist, wobei die zweite Referenzimpuls-Sendestruktur, die zweite Referenzimpuls-Maßstabstruktur und die zweite Referenzimpuls-Abtaststruktur derart dimensioniert sind, daß ein zum ersten Referenzimpulssignal komplementäres zweites Referenzimpulssignal resultiert.

10. Optische Positionsmeßeinrichtung nach Anspruch 8, wobei mindestens eine Referenzimpuls-Maßstabstruktur (M, M') seitlich benachbart zur Inkrementalteilung (IT) angeordnet ist.

11. Optische Positionsmeßeinrichtung nach Anspruch 10, wobei eine erste und zweite Referenzimpuls-Maßstabstruktur (M, M') beidseitig benachbart zur Inkrementalteilung (IT) angeordnet sind.

12. Optische Positionsmeßeinrichtung nach Anspruch 8, wobei eine Referenzimpuls-Maßstabstruktur (M) an einem Ende der Inkrementalteilung (IT) angebracht ist.

Es folgen 6 Seiten Zeichnungen

Anhängende Zeichnungen

FIG. 1

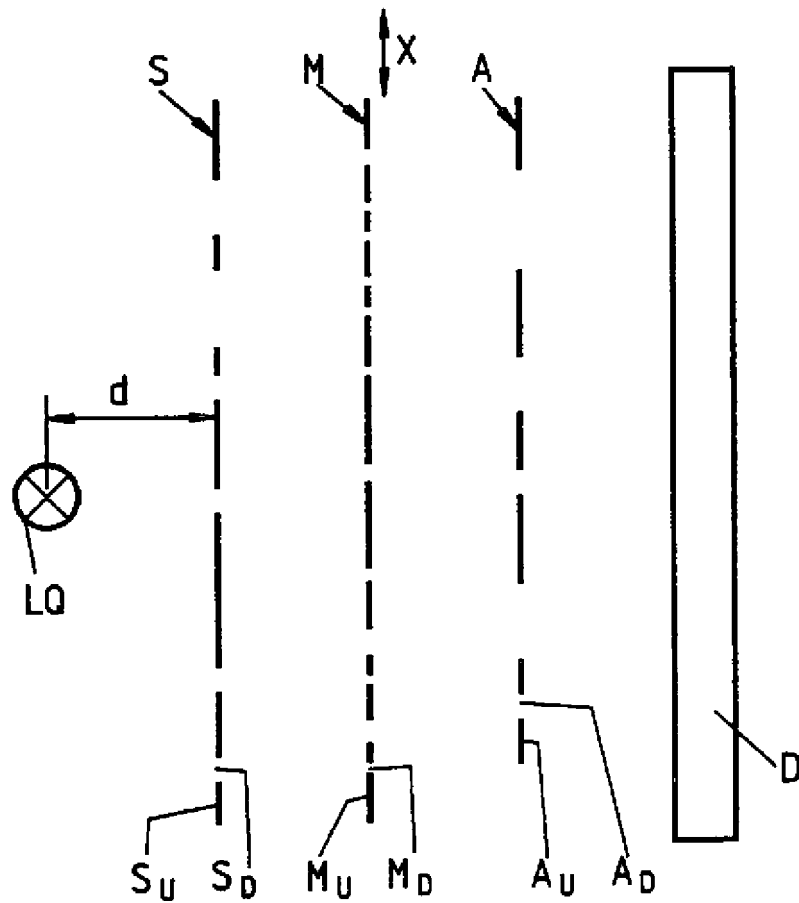


FIG. 2a

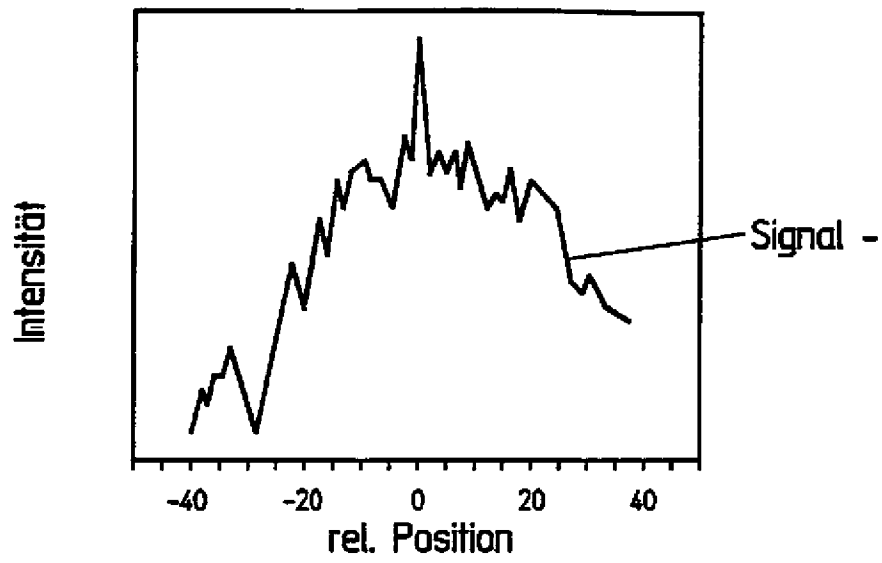


FIG. 2b

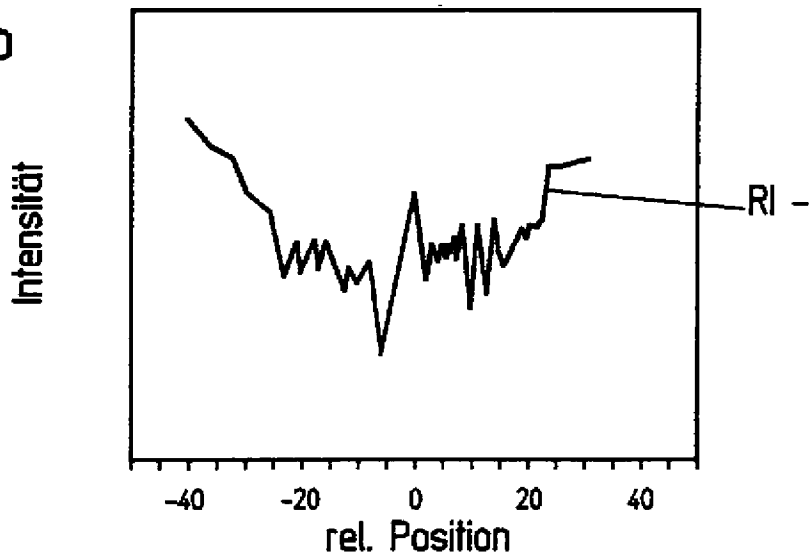


FIG. 2c

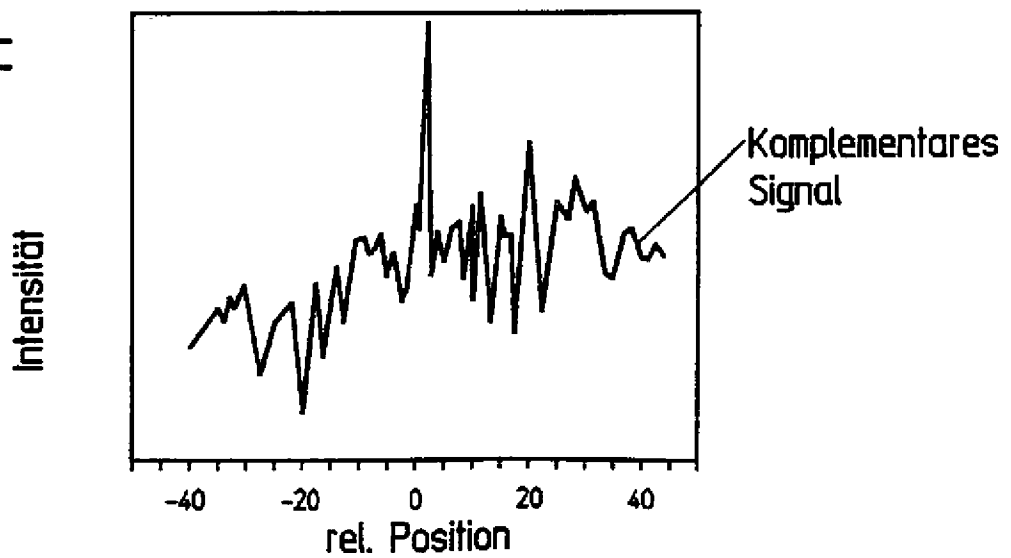


FIG. 3a

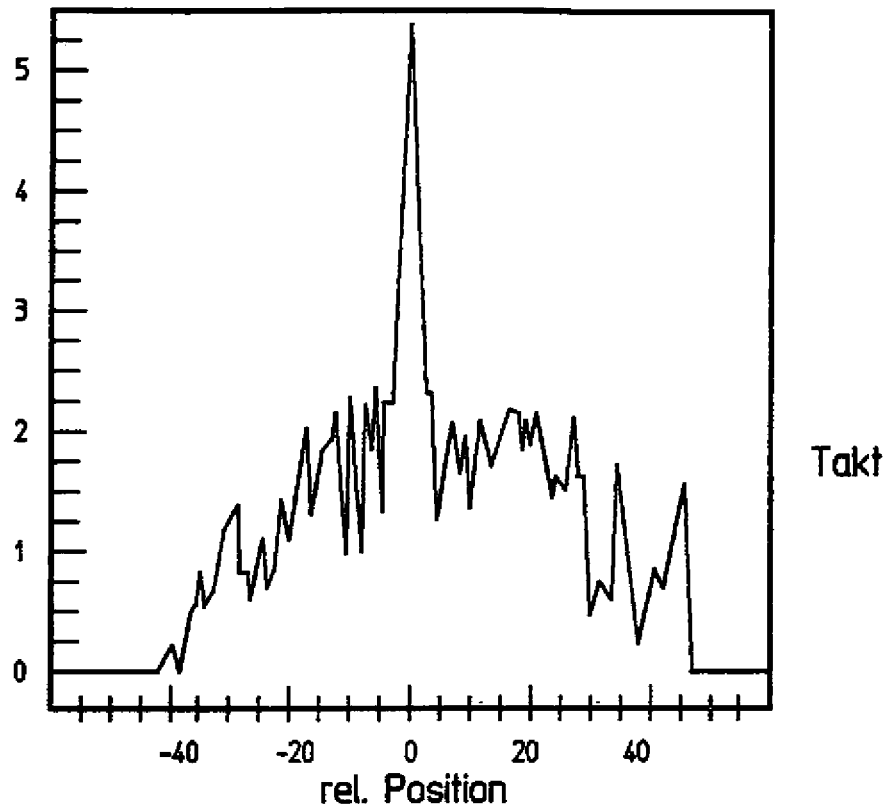


FIG. 3b

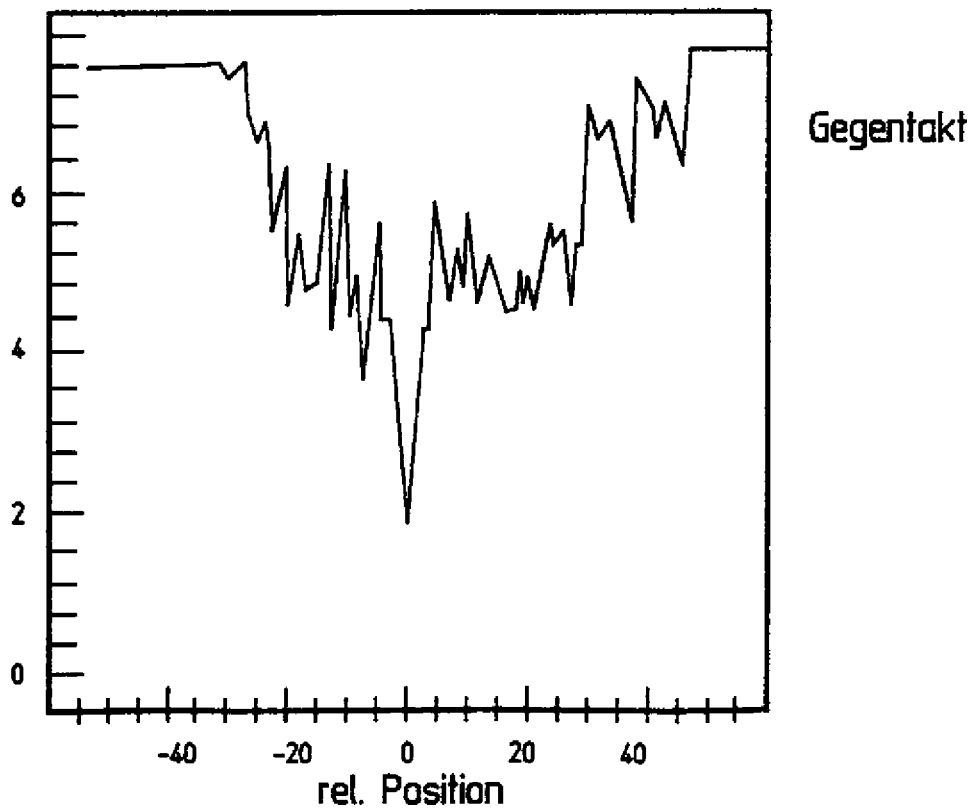


FIG. 4

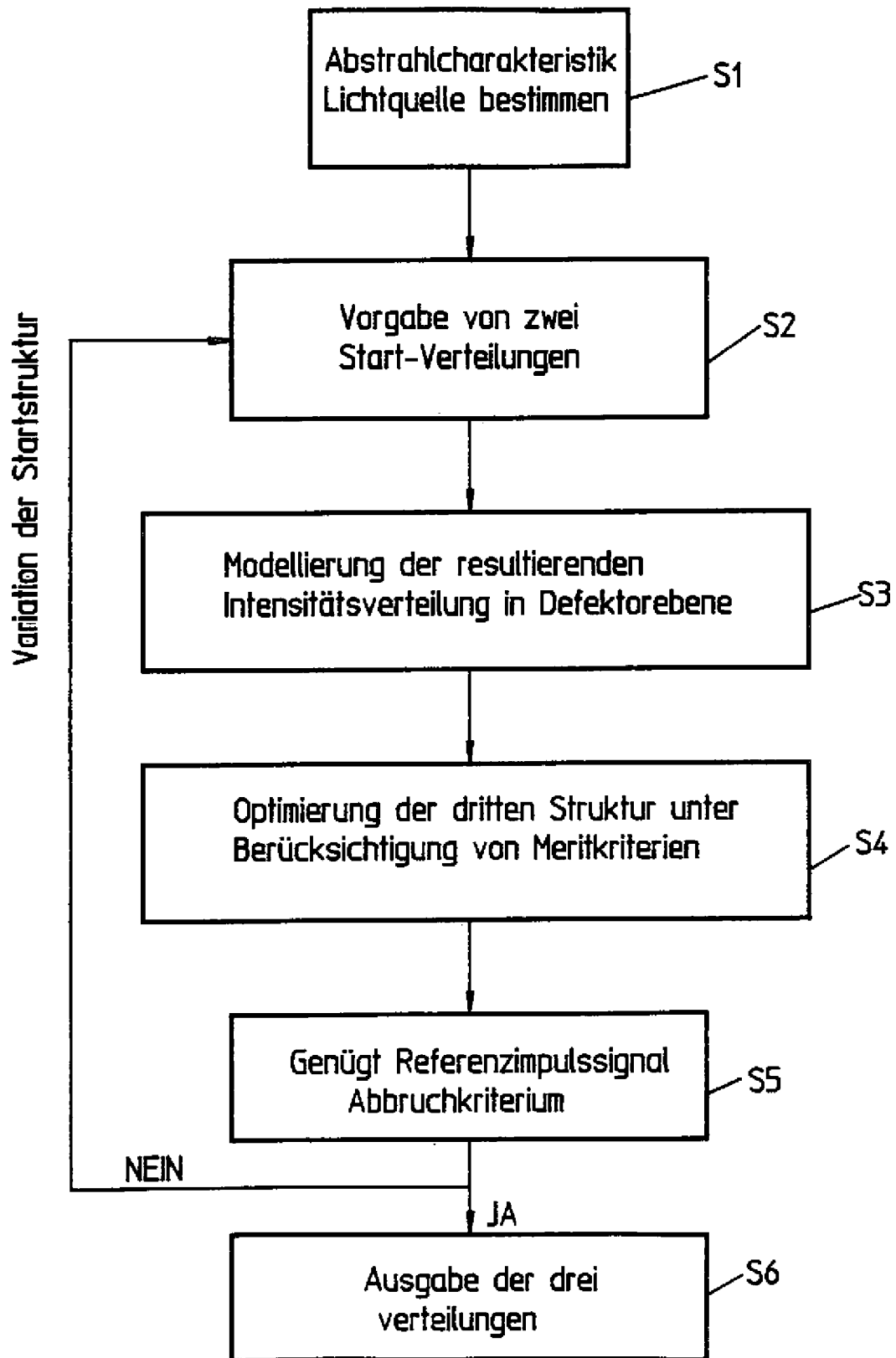


FIG. 5a

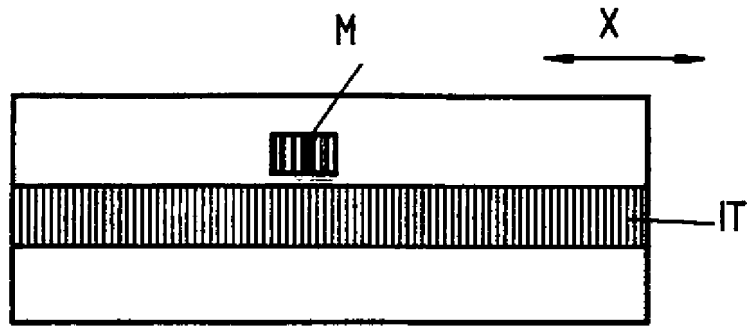


FIG. 5b

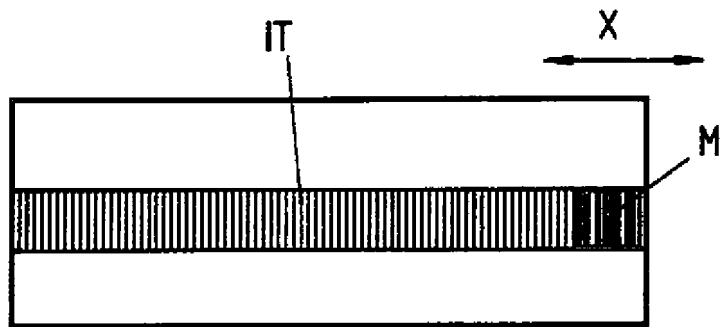


FIG. 5c

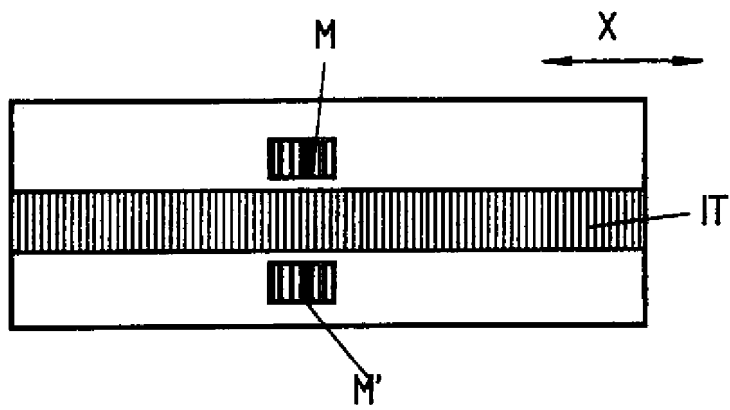


FIG. 5d

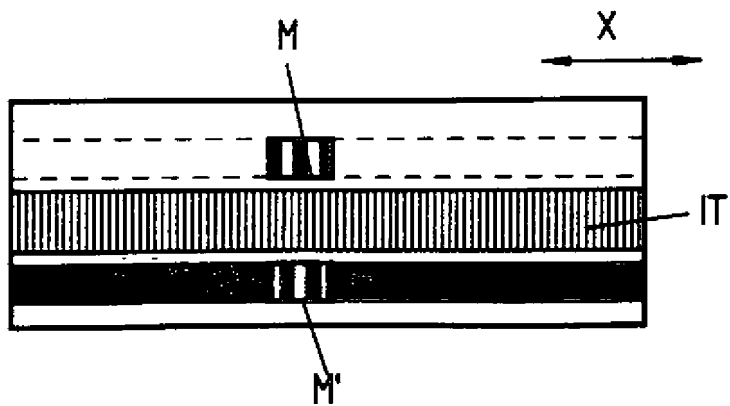


FIG. 6

